

(...)

$$\Rightarrow \frac{d}{dt} V(t) = \left(\sum_{i=1}^I \gamma_i s_i \right) (N - \bar{N}) + \sum_{i=1}^I \left[\frac{1}{s_i} (G_i - s_i) - \gamma_i N \right] (s_i - \bar{s}_i)$$

Si noti che vale la relazione

$$\sum_{i=1}^I \gamma_i \bar{s}_i = 1 \Rightarrow 1 = \sum_{i=1}^I \gamma_i \bar{s}_i;$$

quindi

$$\begin{aligned} \frac{d}{dt} V(t) &= \sum_{i=1}^I \gamma_i (s_i - \bar{s}_i) (\cancel{N} - \bar{N}) + \sum_{i=1}^I \left[\frac{1}{s_i} (G_i - s_i) - \cancel{\gamma_i N} \right] (s_i - \bar{s}_i) \\ &= \sum_{i=1}^I \gamma_i (s_i - \bar{s}_i) (-\bar{N}) + \sum_{i=1}^I \left[\frac{1}{s_i} (G_i - s_i) \right] (s_i - \bar{s}_i) \end{aligned}$$

Si noti inoltre che

$$\bar{s}_i = \frac{G_i}{1 + \gamma_i \bar{N}} \Rightarrow -\gamma_i \bar{N} = 1 - \frac{G_i}{\bar{s}_i};$$

quindi

$$\begin{aligned} \frac{d}{dt} V(t) &= \sum_{i=1}^I (\cancel{s_i} - \bar{s}_i) \left(1 - \frac{G_i}{\bar{s}_i} \right) + \sum_{i=1}^I \frac{1}{s_i} (G_i - \cancel{s_i}) (s_i - \bar{s}_i) = \\ &= \sum_{i=1}^I G_i (s_i - \bar{s}_i) \left(\frac{1}{s_i} - \frac{1}{\bar{s}_i} \right) = \\ &= - \sum_{i=1}^I \frac{G_i}{\bar{s}_i s_i} (s_i - \bar{s}_i)^2 \end{aligned}$$

Dando per assunto che $S_i(t) > 0$ per $i=1, \dots, I$ per ogni $t \geq 0$,
 si ha che, per ogni traiettoria uscente da
 $(N_0, S_{10}, \dots, S_{I0}) \in \mathbb{Q} \setminus \{\bar{N}, \bar{S}_1, \dots, \bar{S}_I\}$,

$$\frac{d}{dt} V(N(t), S_1(t), \dots, S_I(t)) < 0.$$

Quindi, (iv) è verificata □

Da qui è sufficiente usare il secondo teorema di
 Lyapunov per dimostrare che

$$\lim_{t \rightarrow \infty} N(t) = \bar{N}, \quad \lim_{t \rightarrow \infty} S_i(t) = \bar{S}_i, \quad i=1, \dots, I$$

per ogni $N_0 > 0$ e $S_{i0} > 0$, $i=1, \dots, I$.

3. La dinamica di un sistema preda-predatore è descritta dalle seguenti equazioni di Lotka-Volterra

$$\begin{cases} \frac{d}{dt} u(t) = \alpha u(t) - \beta u(t)v(t), \\ \frac{d}{dt} v(t) = \gamma u(t)v(t) - \eta v(t), \end{cases} \quad t \geq 0.$$

La funzione $u(t) \geq 0$ rappresenta il numero di prede presenti all'istante di tempo $t \geq 0$, mentre la funzione $v(t) \geq 0$ rappresenta il numero di predatori. Il parametro $\alpha > 0$ modella il tasso pro capite di riproduzione delle prede. Inoltre, il parametro $\beta > 0$ modella il tasso a cui l'interazione tra una preda e un predatore porta all'uccisione della preda, mentre il parametro $\gamma > 0$ modella il tasso a cui l'interazione tra un predatore e una preda porta alla proliferazione del predatore a seguito dell'uccisione della preda. Infine, il parametro $\eta > 0$ modella il tasso pro capite di morte dei predatori.

(a) Si trovino i punti di equilibrio fisicamente rilevanti di tale sistema di equazioni differenziali.

Cerca $(\bar{u}, \bar{v}) \in \mathbb{R}_+^2$ tale che:

$$\begin{cases} \alpha \bar{u} - \beta \bar{u} \bar{v} = 0 \\ \gamma \bar{u} \bar{v} - \eta \bar{v} = 0 \end{cases} \Rightarrow \begin{cases} \bar{u}(\alpha - \beta \bar{v}) = 0 \\ \bar{v}(\gamma \bar{u} - \eta) = 0 \end{cases}$$

$$\Rightarrow (\bar{u}_1, \bar{v}_1) = (0, 0), \quad (\bar{u}_2, \bar{v}_2) = \left(\eta/\gamma, \alpha/\beta \right).$$

(c) Si studi la stabilità in prima approssimazione dei punti di equilibrio trovati al punto (a).

$$\begin{cases} \frac{d}{dt} u(t) = \alpha u(t) - \beta u(t)v(t), \\ \frac{d}{dt} v(t) = \gamma u(t)v(t) - \eta v(t), \end{cases} \Rightarrow \begin{cases} \frac{d}{dt} u(t) = f(u(t), v(t)) \\ \frac{d}{dt} v(t) = g(u(t), v(t)) \end{cases}$$

con

$$f(u, v) := \alpha u - \beta uv, \quad g(u, v) := \gamma uv - \eta v.$$

Matrice Jacobiana:

$$\underline{J}(u, v) = \begin{pmatrix} \frac{\partial f}{\partial u}(u, v) & \frac{\partial f}{\partial v}(u, v) \\ \frac{\partial g}{\partial u}(u, v) & \frac{\partial g}{\partial v}(u, v) \end{pmatrix}.$$

Studiamo gli autovalori di $\underline{J}(\bar{u}_1, \bar{v}_1)$ e $\underline{J}(\bar{u}_2, \bar{v}_2)$ per caratterizzare la natura dei pt di equilibrio.

Si ha:

$$\frac{\partial}{\partial u} f(u,v) = \alpha - \beta v, \quad \frac{\partial}{\partial v} f(u,v) = -\beta u$$

$$\frac{\partial}{\partial u} g(u,v) = \gamma v, \quad \frac{\partial}{\partial v} g(u,v) = \gamma u - \gamma$$

da cui:

$$i) \quad \underline{\underline{J}}(\bar{u}_1, \bar{v}_1) = \underline{\underline{J}}(0,0) = \begin{pmatrix} \alpha & 0 \\ 0 & -\gamma \end{pmatrix}.$$

Dunque, gli autovalori di $\underline{\underline{J}}(\bar{u}_1, \bar{v}_1)$ saranno

$$\lambda^+ = \alpha \in \mathbb{R}_+^* \quad \wedge \quad \lambda^- = -\gamma \in \mathbb{R}_-^*$$

e, di conseguenza, il pto di equilibrio (\bar{u}_1, \bar{v}_1) sarà, in prima approssimazione, instabile;

$$ii) \quad \underline{\underline{J}}(\bar{u}_2, \bar{v}_2) = \underline{\underline{J}}(\gamma/\delta, \alpha/\beta) = \begin{pmatrix} 0 & -\beta\gamma/\delta \\ \gamma\alpha/\beta & 0 \end{pmatrix}.$$

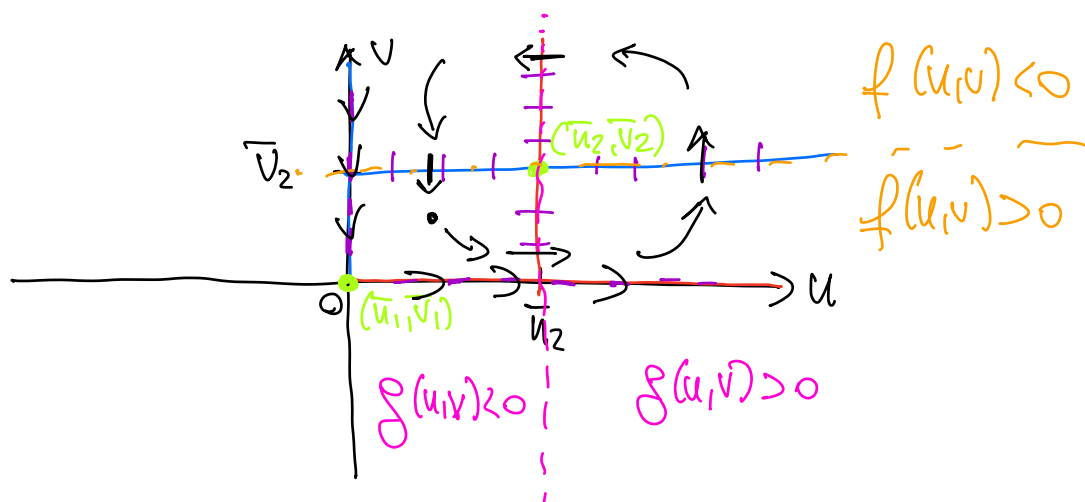
Dunque, gli autovalori di $\underline{\underline{J}}(\bar{u}_2, \bar{v}_2)$ saranno

$$\lambda^\pm = \pm i \sqrt{\alpha\gamma}.$$

Essendo λ^\pm puremente immaginari, il teorema di stabilità in prima approssimazione non ci permette

di giungere a una conclusione riguardo la stabilità/
instabilità del pto di equilibrio (\bar{u}_2, \bar{v}_2) -

- (b) Utilizzando il ritratto di fase di tale sistema di equazioni differenziali, si studi in modo euristico la stabilità dei punti di equilibrio trovati al punto (a).



Isocline nulle e tangente verticale (luogo del piano dove le traiettorie delle soluzioni saranno parallele all'asse v)

$$L_{f=0} = \{ (u, v) \in \mathbb{R}_+^2 : f(u, v) = 0 \}$$

Isocline nulle e tangente orizzontale (luogo del piano dove le traiettorie delle soluzioni saranno parallele all'asse u)

$$L_{g=0} = \{ (u, v) \in \mathbb{R}_+^2 : g(u, v) = 0 \}$$

Si noti che

$$\begin{aligned} \mathcal{L}_{f=0} \cap \mathcal{L}_{g=0} &= \left\{ (u,v) \in \mathbb{R}_+^2 : f(u,v)=0 \wedge g(u,v)=0 \right\} \\ &= \text{punti di equilibrio.} \end{aligned}$$

Ricordando che

$$f(u,v) := u(\alpha - \beta v) = u\beta \left(\frac{\alpha}{\beta} - v \right) = u\beta (\bar{v}_2 - v)$$

$$g(u,v) := v(\gamma u - \eta) = v\gamma \left(u - \frac{\eta}{\gamma} \right) = v\gamma (u - \bar{u}_2),$$

troviamo le isocline nulle e tangente verticali

$$u \equiv 0, \quad v \equiv \bar{v}_2$$

e le isocline nulle e tangente orizzontali

$$v \equiv 0, \quad u \equiv \bar{u}_2.$$

Inoltre, si ha:

$$f(u,v) \begin{cases} > 0 & \text{se } v < \bar{v}_2 \\ < 0 & \text{se } v > \bar{v}_2 \end{cases} \quad \forall u \in \mathbb{R}_+^*$$

$$g(u,v) \begin{cases} > 0 & \text{se } u > \bar{u}_2 \\ < 0 & \text{se } u < \bar{u}_2 \end{cases} \quad \forall v \in \mathbb{R}_+^*$$

Il comportamento qualitativo delle traiettorie è evidenziato dalle frecce in nero nel grafico di cui sopra. A seconda dei valori di α :

- i) (\bar{u}_1, \bar{v}_1) è un pto di equilibrio instabile;
 ii) $\begin{cases} u(t) \\ v(t) \end{cases}$ oscilli in modo periodico intorno a $\begin{matrix} \bar{u}_2 \\ \bar{v}_2 \end{matrix}$;

